

УДК 536.21: 536.48

Г. Г. ЖУНЬ, д-р техн. наук, проф.

Национальный технический университет «Харьковский политехнический институт»,  
г. Харьков.

## ИССЛЕДОВАНИЕ ПРОЦЕССА СТАБИЛИЗАЦИИ ТЕМПЕРАТУРЫ В ТЕПЛОЗАЩИТЕ КРИОСОСУДА

*В статье показано, что разработан теоретический метод определения времени стабилизации температурного поля в пакете ЭВТИ криосудов слоевой формы (после его заполнения жидким криоагентом) возможно использовать для быстрого решения аналогичной задачи, а также определения температурного профиля  $T(\delta)$ , в теплозащите промышленных криосудов с отличной формой. В результате ускоряется оценка тепловой характеристики доследжувемого пакета ЭВТИ, а также выбор наиболее эффективных, из них для совершенствования криосудов.*

*В статті показано, що розроблений теоретичний метод визначення часу стабілізації температурного поля в пакеті ЕВТИ кріосуду шарової форми (після його заповнення рідким криоагентом) можливо використати для швидкого рішення аналогічної задачі, а також визначення температурного профілю  $T(\delta)$  в теплозахисті промислових кріосудів з відмінною формою. В результаті прискорюється оцінка теплової характеристики досліджувемого пакету ЕВТИ, а також вибір найбільш ефективних із них для вдосконалення кріосудів.*

### Введение

В последние десятилетия все большее применение находят криогенные температуры и криогенная техника. Необычный мир криогенных температур обладает уникальными возможностями, позволяющими установить новые физические явления, проникнуть в суть строения материи, осуществлять принципиально новые технологические процессы. Достигаются криогенные температуры в основном с помощью охлажденного азота, неона, водорода и гелия. Для применения и хранения используется значительное количество различных криоустройств, криосудов и криоемкостей с теплозащитой из слоев экранно-вакуумной теплоизоляции (ЭВТИ), которая на калориметрах имеет самую низкую теплопроводность. Однако, на криосудах данная теплозащита (смонтированная машинным способом) оказалась в несколько раз хуже в сравнении с калориметрическими образцами.

Для ее совершенствования с целью уменьшения потерь из криосудов жидких криоагентов (ожижение которых характеризуется значительными энергозатратами) на них проводятся систематические исследования различных новых теплоизоляционных материалов, а также технологий их изолирования и вакуумирования.

### Основная часть

Основной характеристикой качества любой теплоизоляции является, как известно, ее коэффициент теплопроводности. Нами впервые разработан метод определения эффективности коэффициента теплопроводности ( $\lambda_{\text{эфф}}$ ) для пакета ЭВТИ непосредственно на криосудде по температурному профилю  $T(\delta)$ , измеренному в его поперечном сечении ( $\delta$ ) медью-константановыми термопарами для установившегося стационарного теплового состояния (после заполнения жидким криоагентом), а также с использованием величины суммарного теплопритока ( $Q_c$ ) при данных условиях [1].

Разработанная методика и установка для исследования кинетики охлаждения пакета ЭВТИ в процессе установления стационарного теплового состояния по изменению температурных профилей  $T(\delta)$  описаны в [2, 3]. Полученные результаты в поперечном сечении слоев ЭВТИ толщиной 0,071 м, смонтированных с плотностью 35 кг/м<sup>3</sup> на криобиологическом сосуде емкостью 35 л (после заполнения жидким азотом), представлены на рис. 1. Их анализ показывает, что охлаждение слоев ЭВТИ на криосудде происходит с

различной интенсивностью. Наиболее быстро этот процесс совершается в течение ~60 часов (зависимость  $T(\delta)$  4). Полная стабильность теплового состояния в криососуде, а также процесс испаряемости из него жидкого азота достигается через 205-210 часов. Характеризует данное стационарное тепловое состояние в пакете ЭВТИ температурный профиль  $T(\delta)5$ .

Изготовление для данных экспериментов одного криососуда с датчиками температуры в поперечном сечении его пакета ЭВТИ и исследование на нем кинетики установления стационарного теплового состояния является очень длительной (до двух месяцев) и сложной задачей.

Рис. 1. Изменение распределения температуры по толщине пакета ЭВТИ при его охлаждении после заполнения криососуда жидким азотом (сплошные линии – экспериментальные результаты, пунктирные-теоретические значения):

1 – через 4 часа; 2 – 16 часов; 3 – 30 часов;  
4 – 60 часов; 5 – 210 часов.

Поэтому представила интерес работа [4], в которой время охлаждения шарового криососуда с теплозащитным пакетом ЭВТИ для стационарного теплового состояния было предложено определить по изменению в нем температурного поля решением уравнения теплопроводности:

$$C(T)\rho \frac{\partial T}{\partial \tau} = (\lambda(T) \frac{\partial T}{\partial r}). \quad (1)$$

Приведена рассчитанная таким образом эволюция во времени ( $\tau$ ) температурных кривых  $T(r)$  в поперечном сечении пакета ЭВТИ по радиусу  $T(r)$  шарового криососуда. Однако, оценить качество данного расчета не представляется возможным из-за отсутствия сравнения их с экспериментальными результатами.

Предложенная методика [4] была нами исследована для возможного определения по ней также времени захолаживания криобиологического сосуда, который резко отличается от шарового, так как по его высоте пакет ЭВТИ имеет различную толщину. В нижней части, например, он имеет толщину 0,08 м, в центральной части – 0,04 м, а возле горловины – 0,21 м. среднеинтегральная толщина такого пакета ЭВТИ по всей теплозащитной поверхности в криососуде составляет 0,071 м.

Рассчитанные нами по методике [4] зависимости  $T(\delta)$  для криобиологического сосуда представлены на рис. 1 для сравнения с экспериментальными данными. Их анализ показывает, что при малых временах захолаживания экспериментальные результаты имеют более высокую на 5...8 К температуру, то есть теория предполагает более быстрое охлаждение слоев теплоизоляции. Однако, при больших временах захолаживания различие между теорией и экспериментом составляет всего 2...3 К. Данная теория позволила также определить максимальное время захолаживания криососуда, которое оказалось равным  $\tau_{\max}^{teor.} = 230$  часов и близким к экспериментальному  $\tau_{\text{эксп.}} = 210$  часов. Различие между теоретическими и экспериментальными значениями составляет всего ~10 %. Проведенные исследования позволили установить, что разработанная программа [4] может быть также использована для описания в промышленном криососуде кинетики охлаждения пакета ЭВТИ и определения времени установления в нем стационарного теплового режима, близкого к экспериментальному.



С помощью математической модели [4] нами был исследован также процесс выхода на стационарный режим пакетов ЭВТИ с измененной плотностью на криососуде. Расчет проводился для следующих условий: наружная его стенка имела температуру окружающей среды – 297 К, а внутренняя – температуру жидкого азота (77,4 К). Плотность укладки слоев ЭВТИ ( $\rho$ ) изменялась от 10 кг/м<sup>3</sup> до 48 кг/м<sup>3</sup>. Экспериментальные и расчетные результаты представлены на рис. 2. Их анализ показывает удовлетворительное согласие (с точностью 6...9 %) между экспериментальными и теоретическими значениями. При этом установлено, что для пакета ЭВТИ с плотностью 10 кг/м<sup>3</sup> время выхода на режим составляет 72 часа, а при плотности 48 кг/м<sup>3</sup> – 288 часов.

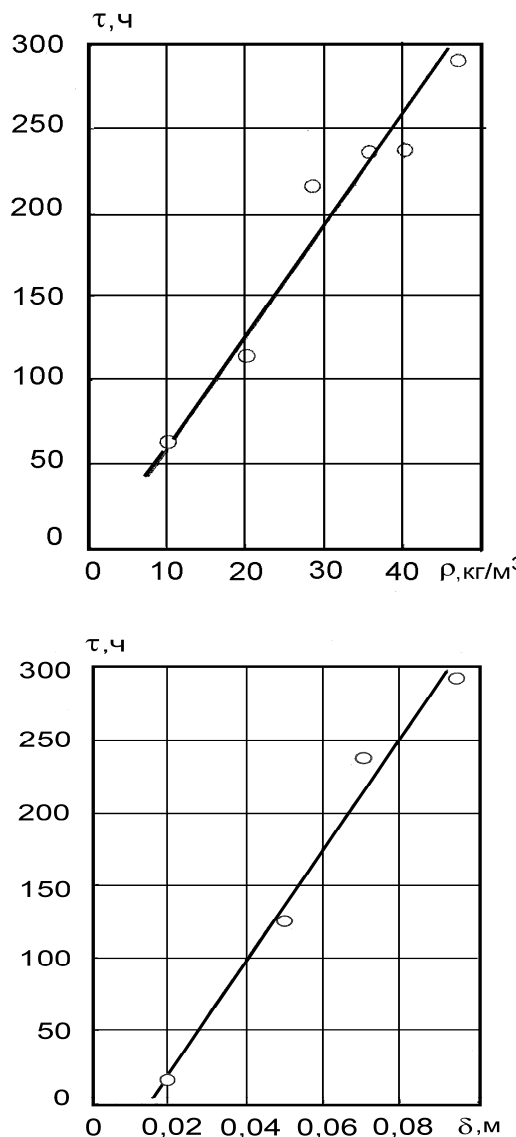


Рис. 2. Экспериментальные и теоретические результаты исследования изменения времени установления стационарного теплового состояния в криососуде с пакетами ЭВТИ различной плотности после заполнения жидким азотом.

Значительный интерес представляет также исследование с помощью математической модели [4] времени стабилизации температурного поля в теплоизоляции при изменении ее толщины. Данные исследования нами проведены для пакетов ЭВТИ, смонтированных с одинаковой плотностью 35 кг/м<sup>3</sup> и измененной толщиной от 0,02 м до 0,1 м. При этом температура наружной стенки криососуда составляла 297 К, а внутренняя имела температуру жидкого азота (77,4 К). Результаты представлены на рис. 3. Их анализ показывает, что с повышением толщины теплоизоляции увеличивается время выхода на стационарный тепловой режим. Так, при толщине пакета ЭВТИ 0,02 м время стабилизации составляет всего 18 часов, а при толщине 0,1 м – 295 часов. Зависимость времени выхода на стационарный режим от толщины теплоизоляции имеет линейный характер. Температурное поле при изменении плотности и толщины пакета ЭВТИ качественно не отличается от распределения температуры, представленной на рис. 1.

Рис. 3. Экспериментальные и теоретические результаты исследования изменения времени установления стационарного теплового равновесия в криососуде с пакетом ЭВТИ различной толщины после заполнения жидким азотом.

### Выводы

Таким образом, проведенные исследования позволили установить, что разработанная математическая модель [4] позволяет успешно определять время достижения стационарного теплового состояния в промышленных криососудах с теплозащитным пакетом ЭВТИ различной толщины и плотности, а также получать для них температурные профили  $T(\delta)$ . Полученные для стационарного теплового состояния температурные профили позволяют рассчитать температурную зависимость коэффициентов теплопроводности  $\lambda_{\text{эфф}}(T)$  [1] для пакетов ЭВТИ и оценить совершенство исследуемой теплоизоляции. Это дает возможность

значительно ускорить процесс выбора наиболее эффективных материалов для теплоизоляции криососудов с целью повышения их тепловых характеристик.

### Список литературы

1. Жунь Г. Г. Выявление и устранение факторов, ухудшающих эффективность криососудов / Г. Г. Жунь, В. Ф. Гетманец, В. А. Мирошниченко // Инж.-физ. журн. – 1989. – Т. 56, № 2. – С. 271–276.
2. Жунь Г. Г. Исследование теплофизических параметров криобиологических сосудов "Харьков-34Б" / Жунь Г. Г., Подольский А. Г., Шалаев В. И. // Криогенные системы: разработки и исследования. – К.: Нук. думка. – 1984. – С. 35–42.
3. Жунь Г. Г. Криобиологические сосуды с улучшенными тепловыми характеристиками // Межвузовский сборн. научн. трудов. Процессы и аппараты криогенных технологий и кондиционирования. – Л.: ЛТИ им. Ленсовета. – 1985. – С. 59–64.
4. Архипов В. Т. К вопросу о температурном поле изоляции криогенных сосудов / Архипов В. Т., Михальченко Р. С., Архипова Е. С. // Вопросы гидродинамики и теплообмена в криогенных системах. – К.: Наук. думка. – 1974, IV вып. – С. 90–95.

### STUDY OF PROCESS OF TEMPERATURE STABILIZATION IN CRYOVESSELHEAT SHIELDING

G. G. ZHUN<sup>c</sup>, Dr. Scie. Tech., Pf.

*The paper proves that developed by us theoretical method to determine the stabilization time of temperature field in superinsulation packet of sphere-shaped cryovessel (after filling it with liquid cryoagent) can be used for fast solution of similar issue, and also for calculation of temperature profile T(delta), in heat shielding of industrial cryovessels having other shape. As a result, both estimation of thermal characteristics of the superinsulation packet under test and selection of the most effective solution for making better cryovessels take less time.*

Поступила в редакцию 09.02.2012 г.

### ТОВАРИСТВО З ОБМЕЖЕНОЮ ВІДПОВІДАЛЬНІСТЮ «ЕНЕРГОІНВЕСТПРОЕКТ»

НАДАЄ НАСТУПНІ ПОСЛУГИ ПРИ ВИКОНАННІ БУДІВЕЛЬНОЇ ДІЯЛЬНОСТІ ЗГІДНО ЛІЦЕНЗІЙ АВ № 195710, ВИДАНОЇ МІНІСТЕРСТВОМ БУДІВНИЦТВА, АРХІТЕКТУРИ ТА ЖИТЛОВО-КОМУНАЛЬНОГО ГОСПОДАРСТВА УКРАЇНИ, НАКАЗ № 53-Л:

#### ПРОЕКТНІ РОБОТИ:

- АРХІТЕКТУРНЕ ТА БУДІВЕЛЬНЕ ПРОЕКТУВАННЯ.
- ПРОЕКТУВАННЯ ВНУТРІШНІХ ТА ЗОВНІШНІХ ІНЖЕНЕРНИХ МЕРЕЖ, СИСТЕМ І СПОРУД
- РОЗРОБЛЕННЯ СПЕЦІАЛЬНИХ РОЗДІЛІВ ПРОЕКТІВ.

#### ЗВЕДЕННЯ НЕСУЧИХ ТА ОГОРОДЖУЮЧИХ КОНСТРУКЦІЙ БУДІВЕЛЬ І СПОРУД, БУДІВНИЦТВО ТА МОНТАЖ ІНЖЕНЕРНИХ І ТРАНСПОРТНИХ МЕРЕЖ:

- МОНТАЖ ЗОВНІШНІХ ТА ВНУТРІШНІХ ІНЖЕНЕРНИХ МЕРЕЖ, ПРИЛАДІВ ТА СИСТЕМ.
- ЗАХИСТ КОНСТРУКЦІЙ, УСТАТКУВАННЯ ТА МЕРЕЖ.

ЗАПРОШУЄМО ДО СПІВПРАЦІ З НАМИ!

#### НАША АДРЕСА:

вул. Сумська, 17, кв. 11, м. Харків, 61057, Україна ,  
тел./факс +38 (057)750-51-96, E-mail: energoinpro@rambler.ru